

## II-7 水深変化による不規則波の変形について

京都大学 工学部 正会員 吉直 雄一  
京都大学 工学部 正会員 ○酒井 哲郎

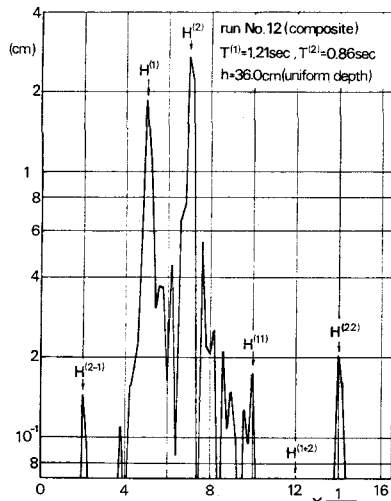
### 1. まえがき

水深の減少による波の変形については、これまでに、理論的にも実験的にも多くの研究がなされている。しかしながら、これらはもっぱら規則波を対象としており、不規則波が水深の減少によつて変形する場合には、水深の減少とともに波高が増大し非線型性が増すことを考慮すると、不規則波の成分間の非線型干渉も考慮しなければならない。

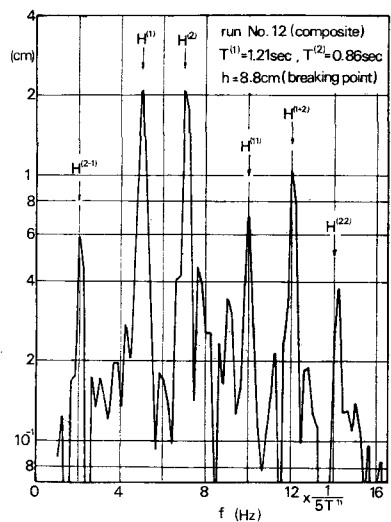
この研究は、不規則波の水深変化にともなう変形に関するもので、その第1段階として2つの單一波を重ね合わせた合成波の水深減少による変形を実験的に取扱い、とくに2つの基本成分波高の変化、および2つの基本成分の倍成分波高および基本成分間の非線型干渉による周波数の和と差の成分の波高の変化について実験的に検討したものである。その結果の一部はすでに今年度の関西支部年次学術講演会で発表したが、ここではその後に行なった解析結果をも含めて述べることにする。

### 2. 実験装置および方法

実験は、京都大学工学部土木工学科地下実験室の波浪実験水槽を用いて行なつた。水槽の一端に油圧ピストン型造波機が設置されており、斜面は1/20のものを用いた。実験は、まず重ね合わせ2つの單一波の一方のみを重ね合わせることで行ない、つづいてこれら2つを重ね合わせた合成波について行なつた。さらに、同様のことき2つの單一波の波高をかけて行なつた。2つの單一波の周期はつねに1:1/ $\sqrt{2}$ の関係にあり、以上の6ケースの実験における長周期の單一波の周期も、約1.0 secから約0.2 secごとに約2.6 secまでえた。一樣水深部の水深はつねに36.0 cmとい、波高計は一樣水深部に1台、斜面上に3台、うち1台は合成波の碎波点に設置した。4台の波高計位置での水位変化は、同時にデータレコーダーによつて記録し、さらにA-D変換器によつて0.08 secごとの



(1)



(2)

図-1 (1), (2) 成分波高スペクトル

デジタル記録に変換したのち、電子計算機を用いて Fourier 解析し、その基本成分および 2 次成分の成分波高を求めた。

### 3. 実験結果および考察

2. で述べた一組さなむらの実験ケースの長周期の单一波の周期を  $T^{(1)}$  とすると、 $1/\sqrt{2} = 5/7$  であるから短周期波の周期  $T^{(2)} = 5/7 \cdot T^{(1)}$  となり、長周期の基本成分  $H^{(1)}$ 、短周期の基本成分  $H^{(2)}$ 、2つの基本成分の倍成分  $H^{(1)}$  および  $H^{(2)}$ 、および和と差の成分  $H^{(1+2)}$  および  $H^{(2-1)}$  の周波数はそれぞれ、 $5/(5T^{(1)})$ 、 $7/(5T^{(1)})$ 、 $10/(5T^{(1)})$ 、 $14/(5T^{(1)})$ 、 $12/(5T^{(1)})$  および  $2/(5T^{(1)})$  で与えられる。図-1 は、 $T^{(1)}=1.21\text{ sec}$  および  $T^{(2)}=0.86\text{ sec}$  の合成波の成分波高スペクトルを示したものである。(1) は一様水深部でのもの、(2) は合成波の碎波点でのものである。一様水深部では、 $H^{(1)}$ 、 $H^{(2)}$ 、 $H^{(1+2)}$  および  $H^{(2-1)}$  はいずれも 2 つの基本成分波高  $H^{(1)}$  および  $H^{(2)}$  にくらべてはるかに小さく。一方碎波点では、 $H^{(1)}$ 、 $H^{(2)}$ 、 $H^{(1+2)}$  および  $H^{(2-1)}$  のいずれも一様水深部での値より増加し、 $H^{(1)}$  および  $H^{(2)}$  にくらべて無視しえない大きさに成長していることがわかる。

図-2 (1)～(4) は、各測定点での  $H^{(1)}$  および  $H^{(2)}$  を示したものである。従来の shoaling の理論曲線と比較するため、横軸に水深・沖波波長比  $h/L_0$ 、縦軸に  $H^{(1)}$ 、 $H^{(2)}$  を沖波波高  $H_0$  でわいた値をとっている。ただし、斜面先端付近の斜面と水槽側面および底面との間のすき向を通しての水の出入りの防止が十分でなく、一様水深部と斜面上の測定点のうち最深点の向て波のエネルギーの損失を考えられたので、斜面上の 3 つの測定点のうちの最深点での  $H^{(1)}$  および  $H^{(2)}$  が、微小振幅波の shoaling の理論値に一致するとして  $H_0$  を求めた。また、 $L_0$  は各成分の周波数から微小振幅波理論を用いて求めた。(1) と (2) は、 $T^{(1)}=1.00\text{ sec}$ 、 $T^{(2)}=0.70\text{ sec}$  の組み合わせによるもの、(3) と (4) は  $2.02\text{ sec}$  と  $1.43\text{ sec}$  の組み合わせによるものである。单一波の  $H^{(1)}$  および  $H^{(2)}$  は、若干のはらつきはあるが、微小振幅波理論の理論曲線とほぼ一致している。一方、合成波の  $H^{(1)}$  および  $H^{(2)}$  は、もっと  $h/L_0$  の値の小さい碎波点では、(1) の場合も单一波の値よりも小さくなっている。しかも、(2)、(4) の短周期成分  $H^{(2)}$  の方がその減少の割合が大きい。

(1) ま、クノイド波の第 2 近似解の近似表現であるハイパボリック波と Stokes 波の第 3 次近似解のエネルギー・フラックスが一定と仮定して求められた波高変化の理論曲線から、Stokes 波

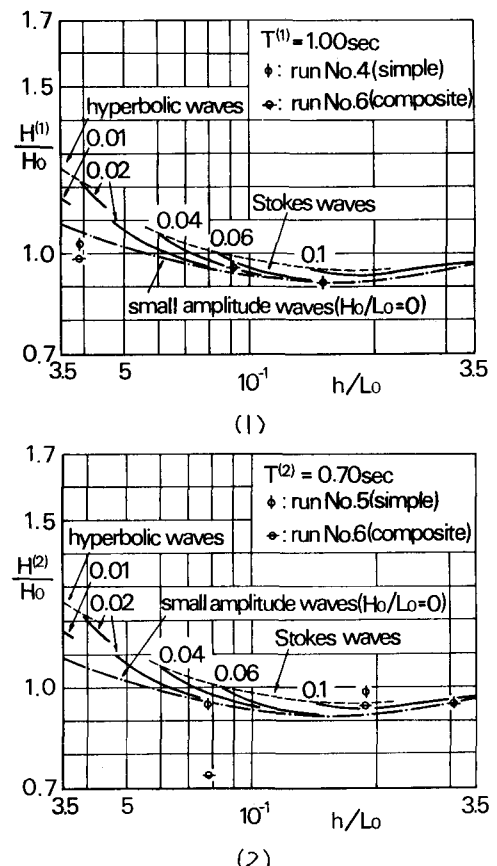
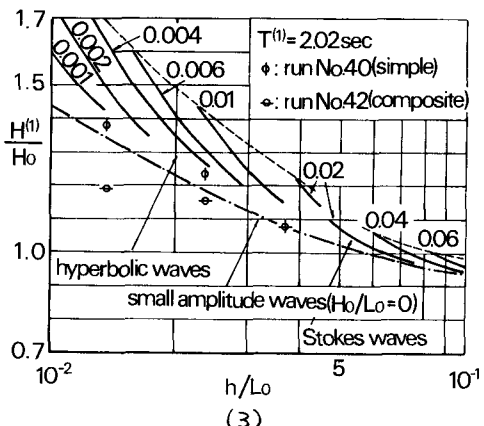


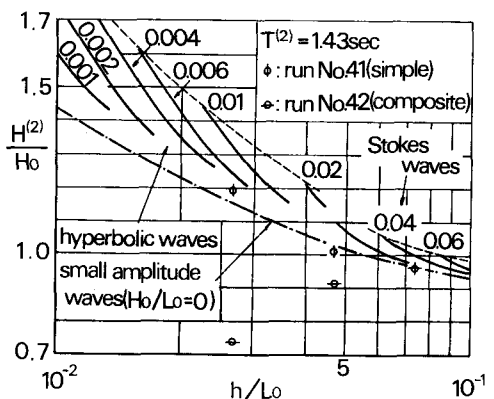
図-2 (1), (2) 基本成分波高の変化

のうち次近似解によつて基本周期の波高  $H^{(1)}$  のみの変化を求めたのが図-3 の破線である。破綻群のうち図の左側の沖浪波形勾配  $H_0/L_0$  が、0.0004 から 0.02 のものは、ハイパボリック波の波高変化の理論値を用ひて、Stokes 波理論の基本成分波高を求めたもので Stokes 波の収束性かゆるい点に問題はあるが、一般につきのことが言える。微小振幅波理論では、フーリエ分解する以前のいわゆる波高  $H = H^{(1)}$  であり、 $H/H_0$  と  $H^{(1)}/H_0$  の 2 倍根は一致するのは当然として、有限振幅波の  $H^{(1)}/H_0$  は、水深の減少とともに最初微小振幅波の理論曲線とほぼ一致しているが、さらに水深が減少すると微小振幅波の理論曲線からはずれ、減少をはじめる。図-2 の実験値の場合一般に波高が小さく、shoaling の理論曲線から沖浪波高  $H_0$  を推算するさいの誤差が大きい。したがつて正確な  $H_0/L_0$  を求めることができず、 $H_0/L_0$  の影響について議論することはできないが、上述のように単一波の場合の実験値は、微小振幅波の理論曲線とほぼ一致し図-3 のよう自減少の傾向が見られないのに対し、合成波の場合には図-3 の破綻で示された  $H^{(1)}/H_0$  の理論曲線と同様の減少の傾向を見せてゐるのは興味深い。

最後に、図-4 (1)~(4) は、2つの倍成分および和と差の成分の変化を示したものであり、図-2 に示したのと同じ実験ケースのものである。ただし、2つの倍成分  $H^{(1)}$  と  $H^{(2)}$  はそれ各自的の基本成分  $H^{(1)}$  および  $H^{(2)}$  であり、和と差の成分  $H^{(1+2)}$  および  $H^{(2-1)}$  は、 $H^{(1)}$  と  $H^{(2)}$  の幾何平均  $\sqrt{H^{(1)} \cdot H^{(2)}}$



(3)



(4)

図-2 (3), (4) 基本成分波高の変化

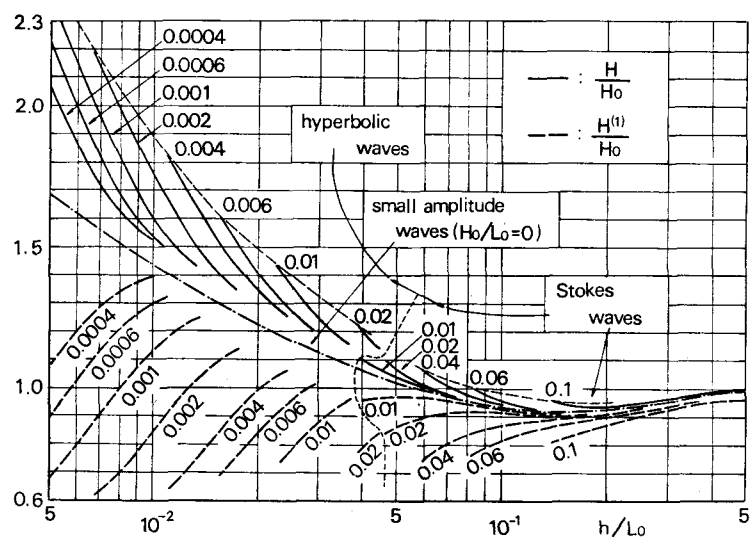
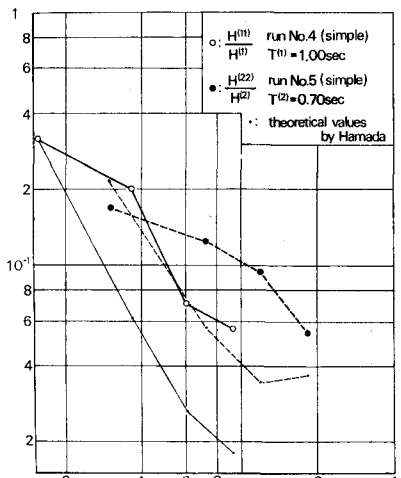


図-3 shoaling の理論曲線から求めた基本成分波高の変化

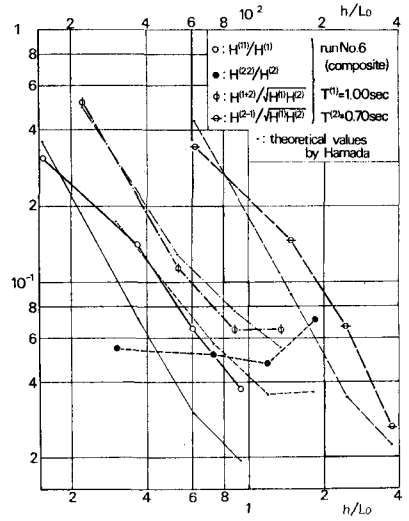
でゆつて無次元化している。横軸の  $h/L_0$  の  $L_0$  は、各成分の周波数から微小振幅波理論を用いて求めたものである。一般に、水深の減少とともに 2 次成分は急激に増大するこことがわかる。図中の細線で示した小さい黒丸は、各測定点での水深と 2 つの基本成分波高から求めた実験の一様水深での 2 次干渉の理論値である。水深の減少とともに増大する傾向は実験値と一致するが、直線のものは実験値とかなり相違していることがわかる。

以上の結果は、ここに示さなかった実験ケースについても一般的に言えることであるが、單一波の場合の基本成分

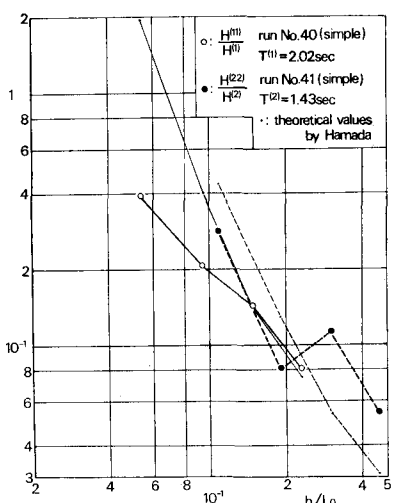
波高と合成波の場合の基本成分  
波高の水深の減少による変化の  
傾向の相違、一様水深における  
浜田の 2 次干渉の理論値と実験  
値との相違の原因については、  
今後さらに検討する必要がある。



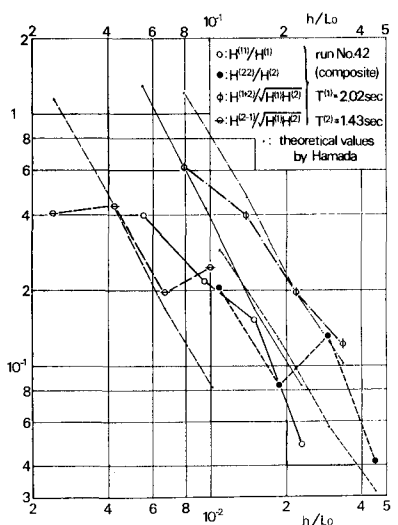
(1)



(2)



(3)



(4)

図-4 (1)～(4) 2 次成分波高の変化

### 参考文献

浜田徳一：複雑  
波の 2 次干渉に  
ついて、第 11  
回海岸工学講演  
会講演集、1964.